

УДК 531.39

© 1995 г. В. Н. ПИЛИПЧУК

## ОБ ОСОБЫХ ТРАЕКТОРИЯХ НЕЛИНЕЙНЫХ КОЛЕБАТЕЛЬНЫХ СИСТЕМ

Введенные в [1] понятия особых направлений в пространстве конфигураций линейных колебательных систем, в частности, главные направления вынужденных колебаний (ВНВК) анализируются с позиций нелинейной теории.

1. Рассмотрим случай свободной колебательной системы с  $n$  степенями свободы, описываемой уравнением

$$M\ddot{x} + B\dot{x} + \varepsilon f(x) = 0, \quad x \in R^n \quad (1.1)$$

где  $M$ ,  $B$  — постоянные, симметрические положительно определенные  $n \times n$ -матрицы;  $f(x)$  — аналитическая в окрестности нуля вектор-функция, зависящая от координат вектора-столбца  $x$  и удовлетворяющая условию  $f(-x) = -f(x)$ ; точка над  $x$  означает дифференцирование по времени  $t$ ;  $0 < \varepsilon \ll 1$  — малый параметр (предполагается, что масштабные преобразования координат, продиктованные физическим содержанием задачи уже выполнены).

При  $\varepsilon = 0$  имеем линейную систему. К ее особым направлениям в пространстве конфигураций относятся, в частности, главные направления собственных колебаний. На соответствующих прямых лежат траектории двухпараметрических семейств решений линейной системы. Еще А. М. Ляпуновым показано, что наличие слабо нелинейных возмущений ( $\varepsilon \neq 0$ ) приводит, вообще говоря, к искривлению траекторий каждого из решений этих семейств [2]. Более того, нельзя ожидать, что все траектории одного семейства будут частью одной и той же линии. Следовательно, главные направления собственных колебаний линейных систем при наличии нелинейного возмущения в общем случае «расщепляются» на семейство искривленных траекторий, именуемых главными траекториями. Такое название для случая свободных колебаний нелинейных систем (не обязательно квазилинейных) используется в [3]. Для завершения схемы изложения и дальнейших сопоставлений воспроизведем вначале алгоритм построения решений А. М. Ляпунова, прибегнув при этом к терминологии теории квазилинейных задач на собственные значения [4]. Термин «собственное значение» трактуется далее расширительно, т. е. специальная форма присутствия соответствующего параметра в уравнении не предполагается, а что именно понимается под собственным значением, поясняется контекстом.

Разыскивается однопараметрическое (не считая сдвига во времени)  $2\pi$ -периодическое по новому временному параметру  $\tau = \omega t$  решение системы (1.1), которое при  $\varepsilon \rightarrow 0$  вырождается в решение линейной системы, соответствующее одному из ее главных направлений.

Перепишем уравнение (1.1) в виде

$$Lx + \varepsilon f(x) = 0, \quad L \equiv \omega^2 M d^2/d\tau^2 + B \quad (1.2)$$

где  $L$  — оператор, действующий на пространстве вектор-функций  $\{x(\tau)\}$ . Ввиду

симметрии будем рассматривать уравнение (1.2) на полупериоде, приняв следующие краевые условия

$$dx/d\tau|_{\tau=0} = dx/d\tau|_{\tau=\pi} = 0 \quad (1.3)$$

Скалярное произведение при этом определим выражением

$$\langle x, y \rangle = \frac{1}{\pi} \int_0^{\pi} \dot{x}^T y \, d\tau, \quad x = x(\tau), \quad y = y(\tau)$$

где  $\dot{x}^T y$  — скалярное произведение в  $R^n$ .

Решение задачи на собственные значения (1.2), (1.3) будем искать в виде рядов по степеням параметра  $\varepsilon$ :

$$x = x^0 + \varepsilon x^1 + \varepsilon^2 x^2 + \dots \quad (1.4)$$

$$\omega^2 = \lambda / (1 + \gamma_1 \varepsilon + \gamma_2 \varepsilon^2 + \dots) \quad (1.5)$$

где  $x^0(\tau)$ ,  $x^1(\tau)$ , ... и  $\lambda$ ,  $\gamma_1$ ,  $\gamma_2$ , ... — подлежащие определению функции и постоянные величины.

Подставляя (1.4), (1.5) в (1.2), (1.3) и разделяя порядки по  $\varepsilon$ , получим последовательность уравнений

$$\varepsilon^0: L_0 x^0 = 0; \quad \varepsilon^1: L_0 x^1 = -\gamma_1 B x^0 - f(x^0), \dots$$

и краевых условий

$$d\dot{x}^i/d\tau|_{\tau=0} = d\dot{x}^i/d\tau|_{\tau=\pi} = 0 \quad (i = 0, 1, \dots) \quad (1.6)$$

$$L_0 = L|_{\varepsilon=0} \equiv \lambda M d^2/d\tau^2 + B$$

Не останавливаясь на стандартной технике решения полученной последовательности задач, приведем результат в первом порядке по  $\varepsilon$ :

$$x = A e_{\alpha} + \varepsilon \sum_{\beta \neq \alpha} \frac{f'_{\beta\alpha} e_{\beta}}{\lambda_{\alpha} - \lambda_{\beta}} + \dots \quad (1.7)$$

$$\omega^2 = \lambda_{\alpha} / \left( 1 - \frac{\varepsilon}{\lambda_{\alpha} A} f'_{\alpha\alpha} + \dots \right), \quad (f'_{\beta\alpha} = \langle e_{\beta}, f(A e_{\alpha}) \rangle) \quad (1.8)$$

Здесь  $A$  — произвольный параметр;  $\lambda_{\alpha}$  и  $e_{\alpha} = q_s \cos j\tau$  — собственное значение и соответствующая вектор-функция, определяемая в исходном (линейном) приложении из уравнений

$$\det(B - \lambda_{\alpha} f^2 M) = 0 \quad (1.9)$$

$$(B - \lambda_{\alpha} f^2 M) q_s = 0 \quad (1.10)$$

где  $\alpha = (s, j)$ ,  $\beta = (r, i)$  — векторы с целочисленными координатами (волновыми числами), характеризующими интенсивность волнообразования формы колебаний в физическом пространстве ( $s, r = 1, \dots, n$ ) и во времени  $\tau$  ( $j, i = 1, 2, \dots$ ); принято следующее условие нормировки

$$\langle e_{\alpha}, B e_{\beta} \rangle = \begin{cases} \lambda_{\alpha}, & \beta = \alpha \\ 0, & \beta \neq \alpha \end{cases} \quad (1.11)$$

Анализ схемы алгоритма и структуры полученных выражений показывает, что все члены разложений (1.4), (1.5) могут быть однозначно определены, если каждой собственной функции линейной задачи соответствует только одно собственное значение (условие отсутствия вырождения):

$$\lambda_{\alpha} \neq \lambda_{\beta} \quad \text{при} \quad \alpha \neq \beta \quad (1.12)$$

Тогда в силу теоремы А. Пуанкаре построенные описанным выше способом ряды будут сходиться при достаточно малом  $\varepsilon$  и давать решение поставленной задачи.

Заметим, что выбор временного волнового числа  $j$  не влияет на окончательный вид решения (после возврата к переменной  $t$ ), а условие невырожденности (1.12) приводит к тем же ограничениям на спектр собственных частот линеаризованной системы, что и условие А. М. Ляпунова. В самом деле, из (1.9) следует  $\lambda_{\alpha} \equiv \lambda_{\alpha, \rho} = \omega_{\alpha}^2 / f^2$ , где через  $\omega_{\alpha}$  обозначена  $s$ -я собственная частота. Поэтому (1.12) дает систему неравенств  $\omega_r / \omega_s \neq i/j$ , где номер  $i$  принимает значения  $j, 3j, 5j, \dots$ , соответствующие ненулевым слагаемым в (1.7). Таким образом, имеем упомянутое условие А. М. Ляпунова для рассматриваемого случая нечетной функции  $f(x)$ :

$$\omega_r / \omega_s \neq 1, 3, 5, \dots \quad (r \neq s) \quad (1.13)$$

Отметим существенную для дальнейшего особенность описанной схемы. А именно, обычный для квазилинейной теории колебаний этап разложения возмущения в ряд Фурье по временной переменной здесь естественным образом содержится в процедуре проектирования возмущения на элементы собственного пространственно-временного базиса линеаризованной задачи (см. выше выражение для  $f_{\beta\alpha}^A$ ).

2. Рассмотрим систему под действием внешней периодической нагрузки. Пусть уравнение колебаний имеет вид

$$M\ddot{x} + Bx + \varepsilon f(x) = p(\omega t), \quad x \in R^n \quad (2.1)$$

где функция нагрузки имеет период  $2\pi$  по аргументу  $\omega t$  и удовлетворяет следующему условию симметрии:  $p(\omega t + \pi) = -p(\omega t)$ . Главной траекторией вынужденных колебаний будем называть такую траекторию, на которой вектор ускорения и вектор внешней силы коллинеарны, а отношение их величин постоянно во времени:

$$p(\omega t) = -(\mu/\omega^2) \ddot{x}(t) \quad (2.2)$$

Здесь  $\mu$  — подлежащий определению скалярный множитель; смысл введения дополнительного множителя  $\omega^{-2}$  ясен из дальнейшего изложения.

Обсудим соотношение (2.2). В случае линейной системы такое определение соответствует введенному в [1] понятию ГНБК. Так, полагая в (2.2)  $p(\omega t) = P e^{i\omega t}$ ,  $x(t) = q e^{i\omega t}$  ( $R^n \ni P, q = \text{const}$ ), имеем  $P = \mu q$ , что и соответствует [1]. Вместе с тем, в выражении (2.2), допускается не только гармоническая зависимость во времени. Заметим, что возможны и другие варианты определений, допускающих переход к линейному случаю. Аналогичным образом можно было бы связать вектор нагрузки с вектором координат в любой момент времени  $p(\omega t) = \mu x(t)$ . Далее, однако, показано, что вариант (2.2) обеспечивает возможность разделения переменных во всем классе однородных систем (см. п. 3), а не только в линейном случае. Кроме этого, выражение (2.2) позволяет провести аналогию с ньютоновой частицей, если множитель  $-\mu\omega^{-2}$  отождествить с массой частицы. А именно, возможна следующая формулировка задачи: требуется найти траектории, на которых векторы внешней силы и ускорение системы связаны уравнением Ньютона в  $R^n$  (2.2). Как показано в [1] для линейных систем, величина  $\mu$  монотонно убывает с ростом  $\omega^2$ , при этом в дорезонансной области  $\mu > 0$ , в зарезонансной —  $\mu < 0$ , а при  $\mu = 0$  имеет место резонанс. Таким образом, эффективная масса  $-\mu\omega^{-2}$  положительна в зарезонансной области, где преобладают инерционные свойства системы (квазидинамика). В случае гармонического осциллятора, например, эффективная масса равна  $-\mu\omega^{-2} = 1 - (\omega_0/\omega)^2$ , где  $\omega_0$  — собственная частота осциллятора.

Приступим к построению главных траекторий вынужденных колебаний. Подставляя (2.2) в (2.1) приходим к следующей задаче на собственные значения при краевых условиях (1.3):

$$Lx + \varepsilon f(x) = -\mu x''(\tau), \quad \tau = \omega t \quad (2.3)$$

где в выражении для оператора  $L$  параметр частоты  $\omega$  известен и соответствует частоте внешней нагрузки, а искомым собственным значением является параметр  $\mu$ . Представим его в виде разложения по степеням  $\varepsilon$ :

$$\mu = \mu_0 + \varepsilon \mu_1 + \varepsilon^2 \mu_2 + \dots \quad (2.4)$$

Соответственно, разыскивая решение  $x(\tau)$  в виде разложения (1.4), после разделения в (2.3) порядков по  $\varepsilon$  приходим к последовательности задач (при краевых условиях (1.6)):

$$\varepsilon^0: L_0 x^0 = 0; \quad \varepsilon^1: L_0 x^1 = -\mu_1 x^{0''} - f(x^0) \quad (2.5)$$

$$\varepsilon^2: L_0 x^2 = -\mu_2 x^{0''} - \mu_1 x^{1''} - f'_x(x^0) x^1, \dots$$

$$L_0 \equiv (\mu_0 E + \omega^2 M) d^2/d\tau^2 + B$$

где  $f'_x(x^0)$  — матрица частных производных, вычисленных при  $x = x^0$ .

Выполнив стандартную процедуру [4]; с точностью до членов порядка  $\varepsilon^2$  включительно находим

$$\mu = \lambda_\alpha + \varepsilon \frac{f_{\alpha\alpha}^A}{Ar_\alpha} + \frac{\varepsilon^2}{Ar_\alpha} \sum_{\beta \neq \alpha} a_\beta^1 \langle e_\alpha, f'_x(Ae_\alpha) e_\beta \rangle + \dots \quad (2.6)$$

$$x = Ae_\alpha + \varepsilon \sum_{\beta \neq \alpha} a_\beta^1 e_\beta + \varepsilon^2 \sum_{\beta \neq \alpha} a_\beta^2 e_\beta + \dots, \quad f_{\beta\alpha}^A = \langle e_\beta, f(Ae_\alpha) \rangle, \quad r_\alpha = \langle e_\alpha', e_\alpha' \rangle$$

$$a_\beta^1 = \frac{f_{\beta\alpha}^A}{r_\beta (\lambda_\alpha - \lambda_\beta)}, \quad a_\beta^2 = -\frac{f_{\alpha\alpha}^A}{\lambda_\alpha - \lambda_\beta} \frac{a_\beta^1}{Ar_\alpha} + \sum_{\gamma \neq \alpha} a_\gamma^1 \frac{\langle e_\beta, f'_x(Ae_\alpha) e_\gamma \rangle}{r_\beta (\lambda_\alpha - \lambda_\beta)}$$

Здесь  $\gamma$  — двумерный вектор с целочисленными координатами;  $\lambda_\alpha$  и  $e_\alpha = q, \cos j\tau$  — собственное значение и соответствующая вектор-функция, определяемые в исходном приближении из уравнений

$$\det(B - \omega^2 M - \lambda_\alpha J E) = 0 \quad (2.7)$$

$$(B - \omega^2 M - \lambda_\alpha J E) q_\alpha = 0 \quad (2.8)$$

$$\langle e_\alpha, e_\beta \rangle = \begin{cases} 1, & \beta = \alpha \\ 0, & \beta \neq \alpha \end{cases} \quad (2.9)$$

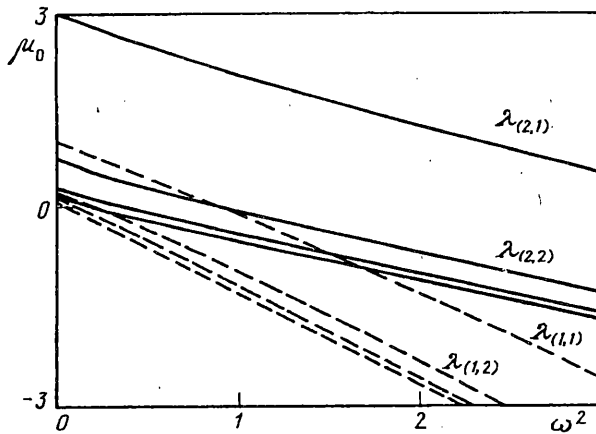
Анализ выражений (2.6) показывает, что все члены разложений могут быть однозначно определены при условии отсутствия вырождения:  $\lambda_\alpha \neq \lambda_\beta$  (если  $\alpha \neq \beta$ ). Данное условие имеет такой же вид, как и (1.12). Однако, здесь собственные значения, а следовательно — возможность вырождения, зависят не только от свойств самой системы, но и от заданной частоты внешнего воздействия. В подтверждение сказанного рассмотрим пример.

*Пример 1.* Рассмотрим цепочку из двух масс, с линейно-упругими связями. Пусть уравнения движения имеют вид

$$\begin{aligned} (1 - \rho) \ddot{u}_1 + 2u_1 - u_2 + 2\varepsilon f(u_1, u_2) &= g_1(t) \\ (1 + \rho) \ddot{u}_2 + 2u_2 - u_1 + 2\varepsilon f(u_2, u_1) &= g_2(t) \end{aligned} \quad (2.10)$$

$$f(u_1, u_2) \equiv u_1^3 + \gamma(u_1 - u_2)^3$$

где  $u_1, u_2$  — смещения масс, отсчитываемые от их равновесного положения;



Фиг. 1

$0 < \varepsilon \ll 1$  — малый параметр;  $\rho$  — параметр, характеризующий различие масс;  $g_1, g_2$  — функции внешней нагрузки.

Введем переменные, диктуемые симметрией поля упругих сил:  $x_1 = 1/2 \sqrt{2} (u_1 + u_2)$ ,  $x_2 = 1/2 \sqrt{2} (u_1 - u_2)$ ,  $p_1 = 1/2 \sqrt{2} (g_1 + g_2)$ ,  $p_2 = 1/2 \sqrt{2} (g_1 - g_2)$ . Тогда фигурирующие в векторном уравнении (2.1) матрицы будут иметь вид

$$x = \begin{vmatrix} x_1 \\ x_2 \end{vmatrix}, \quad p = \begin{vmatrix} p_1 \\ p_2 \end{vmatrix}, \quad f(x) = \begin{vmatrix} f_1 \\ f_2 \end{vmatrix} \equiv \begin{vmatrix} x_1 (x_1^2 + 3x_2^2) \\ x_1 (3x_1^2 + cx_2^2) \end{vmatrix}$$

$$c = 1 + 8\gamma, \quad M = \begin{vmatrix} 1 & -\rho \\ -\rho & 1 \end{vmatrix}, \quad B = \begin{vmatrix} 1 & 0 \\ 0 & 3 \end{vmatrix}$$

В линейном приближении находим собственные значения и векторы

$$\lambda_\alpha = [2 + (-1)^s (1 + \rho^2 \omega^4 j^4)^{1/2}] j^{-2} - \omega^2 \quad (s = 1, 2; j = 1, 2, \dots)$$

$$e_{(1,j)} = \sqrt{2} \begin{vmatrix} \cos \theta_j \\ -\sin \theta_j \end{vmatrix} \cos(j\tau), \quad e_{(2,j)} = \sqrt{2} \begin{vmatrix} \sin \theta_j \\ \cos \theta_j \end{vmatrix} \cos(j\tau)$$

$$\operatorname{tg} \theta_j = \frac{(1 + \rho^2 \omega^4 j^4)^{1/2} - 1}{\rho \omega^2 j^2}$$

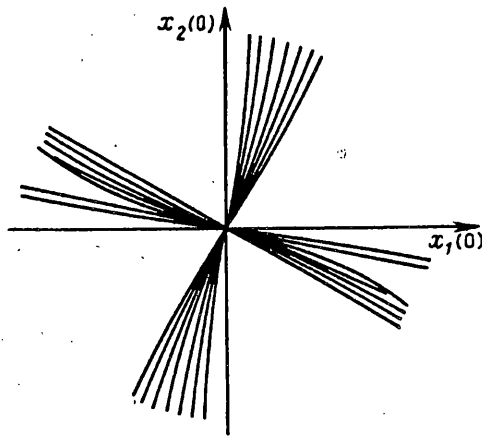
На фиг. 1 показано семейство кривых  $\mu_0 = \lambda_\alpha(\omega^2)$  при  $\alpha = (2,1), (2,2), (2,3), (2,4)$  (сплошные линии) и  $\alpha = (1,1), (1,2), (1,3), (1,4)$  (штриховые линии).

При фиксированной координате  $s$  вектора  $\alpha = (s, j)$  линия с меньшей координатой  $j$  располагается выше. Наличие точек пересечения свидетельствует о возможности нарушения условия невырожденности при некоторых значениях внешней нагрузки  $\omega$ .

В первом асимптотическом приближении из (2.6) имеем:

$$\mu = \lambda_\alpha + \varepsilon A^2 f_{\alpha\alpha}^1 j^{-2}, \quad x = A e_\alpha + \varepsilon A^3 \sum_{\beta} \frac{f_{\beta\alpha}^1}{j^2 (\lambda_\alpha - \lambda_\beta)} e_\beta$$

Если в качестве базовой выбрана собственная функция с номером  $\alpha = (2,1)$ , то суммирование ведется по отличным от  $\alpha$  номерам  $\beta = (1,1), (1,3), (2,3)$ , при которых величины  $f_{\beta\alpha}^1$  не равны нулю. На плоскости амплитуд  $x_1(0), x_2(0)$  этому случаю соответствуют слегка искривленные линии, проходящие через первую и третью координатные четверти (см. фиг. 2). Вычисления выполнены при следующих значениях параметров:  $\varepsilon = 0,2$ ;  $\rho = 0,4$ ;  $c = 1,5$ ;  $\omega = 0,9, 1,1$ ;



Фиг. 2

1,3; 1,5; 1,7. С ростом значения  $\omega$  линия выпрямляется и поворачивается по часовой стрелке. В исходных переменных это отвечает постепенному переходу к квазидинамическим режимам с возбуждением в основном первой из частиц, с меньшей массой. Регулярный (веерообразный) характер данного семейства линий связан с тем, что для выбранного базового  $\alpha$  условие отсутствия вырождения выполняется во всем диапазоне значений  $\omega$  (на фиг. 1 кривая  $\lambda_{(2,1)}(\omega^2)$  располагается выше всех других и не имеет с ними точек пересечения). Отметим, что качественно иначе эволюционируют в плоскости амплитуд второе семейство линий при базовом  $\lambda_{(1,1)}$ , когда на рассматриваемом интервале значений  $\omega$  имеются точки вырождения. Однако, за точками вырождения, при достаточно больших  $\omega$ , эволюция второго семейства также приобретает регулярный характер сгущения около биссектрисы второй и четвертой координатных четвертей — квазидинамических режимов с возбуждением в основном второй частицы (имеющей большую массу).

3. Рассмотрим специальный случай сильно нелинейных, однородных систем. Уравнение вынужденных колебаний по действию периодической внешней нагрузки представим в виде

$$M\ddot{x} + f(x) = p(t), \quad f(x) = \text{grad } \Pi(x) \quad (3.1)$$

где  $\Pi(x)$  — однородная (с четным показателем однородности  $m+1$ ) форма координат, так что для любой скалярной величины  $c$  имеет место равенство

$$f(cx) = c^m f(x) \quad (3.2)$$

При  $m=1$  система линейна, при других  $m$  имеем сильно нелинейный случай в том смысле, что поле упругих сил вообще не содержит линейной составляющей.

В линейном случае разделение переменных достигается, по-существу, тем, что функция внешней нагрузки и искомое решение предполагаются пропорциональными порожденной также линейной системой гармонической функции времени  $\cos(\omega t)$ . Проведем подобное согласование внешнего воздействия и системы в нелинейном случае ( $m \neq 1$ ). Положим

$$x(t) = \alpha(t) q, \quad R^n \ni q = \text{const} \quad (3.3)$$

и в соответствии с определением (2.2)

$$p(t) = -\mu\omega^{-2}\ddot{\alpha}(t) q \quad (3.4)$$

где  $\alpha(t)$  — периодическая функция, определенная как решение задачи Коши для однородного осциллятора с тем же показателем однородности, что и рассматриваемая система:

$$\ddot{\alpha} + \omega^2 \alpha^n = 0, \quad \alpha(0) = 1, \quad \dot{\alpha}(0) = 0 \quad (3.5)$$

Варьируемый параметр  $\omega$  в (3.4) и (3.5) с точностью до зависящего от  $m$  множителя задает частоту основного тона внешнего воздействия.

Подставляя (3.3), (3.4) в (3.1), в силу (3.5) получаем

$$-\omega^2 Mq + f(q) = \mu q \quad (3.6)$$

Требуется найти вектор  $q$ , а также связь между величинами  $\mu$ ,  $\omega$  и параметрами вектора  $q$ . Заметим, что уравнение (3.6) инвариантно относительно следующего изменения масштабов:  $q \rightarrow cq$ ,  $\omega^2 \rightarrow c^{n-1}\omega^2$ ,  $\mu \rightarrow c^{n-1}\mu$  ( $c$  — скаляр). Отсюда следует, что система допускает главные траектории вынужденных колебаний в виде прямых в пространстве конфигураций (см. далее пример 2). Для случая свободных колебаний аналогичный факт установлен Р. М. Розенбергом (см. [5]).

*Пример 2.* Вернемся к рассмотренному выше примеру, считая, что в характеристиках связей линейные слагаемые отсутствуют. Примем для определенности  $\varepsilon = 1$  и перепишем систему (3.6) в развернутом виде

$$\begin{aligned} \omega^2 (-q_1 + \rho q_2) + q_1 (q_1^2 + 3q_2^2) &= \mu q_1 \\ \omega^2 (-q_2 + \rho q_1) + q_2 (3q_1^2 + cq_2^2) &= \mu q_2 \end{aligned} \quad (3.7)$$

Для нахождения главных направлений вынужденных колебаний полагаем (ввиду прямолинейности траекторий здесь используется термин «направление»)  $q_2 = kq_1$ . Тогда условие совместности системы (3.7) приводит к уравнению для углового коэффициента  $k$ :

$$k - (1 - 4\gamma) k^3 = 1/2\nu (ck^4 - 1), \quad \nu = \rho / \left(1 + \frac{\mu}{\omega^2}\right) \quad (3.8)$$

Такую же форму имеет уравнение совместности в случае свободных колебаний; роль внешнего воздействия сводится к появлению коэффициента  $(1 + \mu/\omega^2)^{-1}$  при параметре асимметрии масс  $\rho$ . Если массы одинаковы по величине ( $\rho = 0$ ), то главные направления свободных и вынужденных колебаний, как и в линейном случае, совпадают. Уравнение (3.8) может иметь четыре вещественных корня, а система — четыре главных направления вынужденных колебаний. Поскольку у линеаризованной системы таких направлений два, то это означает, что с ростом амплитуды колебаний (и степени влияния нелинейных членов) возможны эффекты «ветвления» семейства главных траекторий вынужденных колебаний (известно, что в случае свободных колебаний подобные эффекты имеют место [5]).

В следующих двух пунктах описаны итерационные аналитические процедуры для построения главных траекторий свободных (п. 4) и вынужденных (п. 5) колебаний нелинейных систем (не обязательно квазилинейных или однородных). Базовой моделью этих процедур служит простейшая колебательная система в виде свободной материальной точки между двумя жесткими ограничителями. Первый этап включает введение новой временной переменной, зависящей от исходного времени по закону пилообразного синуса [5—7]. Существенная особенность предлагаемых процедур в том, что упомянутые выше (нелокальные) эффекты ветвления семейств траекторий могут быть обнаружены уже в первом приближении. С другой стороны, однако, такое расширение возможностей, по сравнению с квазилинейным подходом (п.п. 1, 2), приводит к значительному усложнению проблемы полного обоснования процедур. В связи с этим в данной работе ограничимся лишь некоторыми замечаниями полукачественного характера.

4. Пусть уравнение движения системы имеет вид

$$M\ddot{x} + f(x) = 0, \quad x \in R^n \quad (4.1)$$

Вектор — функция  $f(x)$  предполагается вещественно аналитической и нечетной ( $f(-x) = -f(x)$ ).

Будем искать однопараметрические (не считая сдвига во времени) семейства периодических решений, симметричных относительно четверти периода  $t = a$ , т. е. удовлетворяющих соотношению  $x(t) = x(2a - t)$  при любом  $t$  (период колебаний  $4a$  в данном случае заранее не известен).

Принимая во внимание свойства симметрии системы, представим искомое решение в виде [7]:

$$x = X(\tau), \quad \tau = \tau\left(\frac{t}{a}\right), \quad \tau(\xi) = \frac{2}{\pi} \arcsin\left(\sin\left(\frac{\pi}{2}\xi\right)\right) \quad (4.2)$$

где  $\tau(\xi)$  — пилообразный синус с единичной амплитудой и периодом, равным четырем (такая нормировка периода более удобна для ниже следующих преобразований).

Подставляя (4.2) в (4.1) исключая появляющийся при дифференцировании периодический сингулярный член, приходим к следующей краевой задаче

$$MX'' = -hf(X), \quad X'|_{\tau=1} = 0, \quad X(-\tau) = -X(\tau) \quad (4.3)$$

Будем искать решение задачи в виде рядов последовательных приближений

$$X = X^0 + X^1 + X^2 + \dots$$

$$a^2 = h = h_0(1 + \gamma_1 + \gamma_2 + \dots) \quad (4.4)$$

Подставляя (4.4) в (4.3), получим последовательность уравнений

$$MX^{0''} = 0, \quad MX^{1''} = -h_0 f(X^0) \quad (4.5)$$

$$MX^{2''} = -h_0 [\gamma_1 f(X^0) + f'_x(X^0) X^1], \dots$$

и краевых условий

$$(X^{0'} + X^{1'})|_{\tau=1} = 0, \quad X^{2'}|_{\tau=1} = 0, \dots \quad (4.6)$$

В исходном приближении имеем

$$X^0 = A^0 \tau \quad (4.7)$$

где  $A^0$  — произвольный постоянный вектор, направление которого будет определено на следующем шаге. Тогда, интегрируя второе из последовательности уравнений, получаем

$$X^1 = A^1 \tau - h_0 M^{-1} \int_0^\tau (\tau - \xi) f(A^0 \xi) d\xi \quad (4.8)$$

где  $A^1 = \text{const}$  — произвольный  $n$ -мерный вектор.

Заметим, что слагаемое  $A^1 \tau$  в (4.8) имеет такую же структуру, как исходное приближение, поэтому без дополнительных условий первая же поправка в решении приводит, вообще говоря, к изменению как длины так и направления векторного множителя при первой степени  $\tau$  ( $A^0 + A^1$ )  $\tau$ .

Однако, с точки зрения алгоритма факт корректировки на первом же шаге исходного приближения, по-существу, свидетельствует о том, что выбор последнего не совсем удачен. В связи с этим примем вектор  $A^1$  равным нулю. Так, подставляя (4.7), (4.8) в первое из последовательности условий (4.6), получим векторное уравнение

$$h_0 \int_0^1 f(A^0 \xi) d\xi = MA^0 \quad (4.9)$$



и, умножая его скалярно на  $A^{0T}$ , соотношение

$$h_0 = A^{0T} M A^0 / \int_0^1 A^{0T} f(A^0 \xi) d\xi \quad (4.10)$$

Первое (векторное) уравнение представляет собой нелинейную задачу на собственный вектор, второе определяет связь длины вектора с параметром  $h_0$ .

Заметим, что все приближения определяются из (4.5) повторным интегрированием. Решение для  $X^2$  содержит слагаемое вида  $A^2 \tau$ , где постоянный вектор  $A^2$  определяется из краевого условия для  $X^2$  при  $\tau = 1$ . При этом член разложения  $\gamma_1$  выбирается так, чтобы выполнялось условие

$$A^{0T} M A^2 = 0 \quad (4.11)$$

Последнее условие приводит к выражению

$$\gamma_1 = -A^{0T} \int_0^1 f_x'(A^0 \xi) X^1 d\xi / \int_0^1 A^{0T} f(A^0 \xi) d\xi \quad (4.12)$$

Аналогичным образом могут быть однозначно определены и все высшие приближения.

Предположим, что задача (4.9) имеет решение и, тем самым, исходное приближение построено. Свойства сходимости рядов существенно зависят от характера действия соответствующего (4.3) интегрального оператора  $\Phi$ :

$$X = \Phi(X)$$

$$\Phi(X) \equiv h M^{-1} \left[ \tau \int_0^1 f[X(\xi)] d\xi + \int_0^1 \xi f[X(\xi)] d\xi \right]$$

$$h = h_0 \int_0^1 A^{0T} f(A^0 \tau) d\tau / \int_0^1 A^{0T} f(X) d\tau$$

Необходимое условие состоит в сжимаемости линеаризованного около  $X^0$  оператора, что может быть выражено неравенством:

$$\|\Phi_x'(X^0) \delta X\| / \|\delta X\| < 1 \quad (4.13)$$

где норма введена следующим образом:  $\|X\| = \max \|X\|_R^n$ , где  $\delta X$  — функции из рассматриваемой окрестности ( $\|\delta X\| \ll \|X^0\|$ ).

Например, для линеаризованной системы условие (4.13) приводит к системе неравенств  $\omega_i / \omega_j < 1$  при всех  $i \neq j$ , где  $\omega_j$  — собственная частота, соответствующая базовой траектории.

5. Для главных траекторий вынужденных колебаний уравнение будет иметь вид

$$M \ddot{x} + f(x) = -\mu \omega^{-2} \ddot{x}(t), \quad x \in R^n \quad (5.1)$$

где параметр  $\mu$  имеет такой же смысл, как и в (2.1).

После введения осциллирующего временного параметра будем иметь следующую задачу

$$(M + \mu h E) X'' = -h f(X), \quad h = \omega^{-2} \quad (5.2)$$

$$X'|_{\tau=1} = 0, \quad X(-\tau) = -X(\tau)$$

где параметр  $h$  в отличие от п. 4 известен заранее, а определению подлежит величина  $\mu$ . Разыскивая эту величину в форме ряда последовательных приближений

$$\mu = \mu_0 + \mu_1 + \mu_2 + \dots \quad (5.3)$$

придем аналогично п. 4 к следующей цепочке краевых задач:

$$\begin{aligned} (M + \mu_0 hE) X^{0''} &= 0, \quad (M + \mu_0 hE) X^{1''} = -h [\mu_1 X^{0''} + f(X^0)] \\ (M + \mu_0 hE) X^{2''} &= -h [\mu_1 X^{1''} + \mu_2 X^{0''} + f'_x(X^0) X^1], \dots \end{aligned} \quad (5.4)$$

при краевых условиях (4.6).

Сохранив последовательность рассуждений п. 4, получим

$$X^0 = A^0 \tau$$

$$X^1 = -h (M + \mu_0 hE)^{-1} \int_0^\tau (\tau - \xi) f(A^0 \xi) d\xi, \dots \quad (5.5)$$

где вектор  $A^0$  и величина  $\mu_0$  связаны уравнениями

$$(M + \mu_0 hE) A^0 = h \int_0^1 f(A^0 \xi) d\xi \quad (5.6)$$

$$\mu_0 = \frac{1}{A^{0T} A^0} \left( \int_0^1 A^{0T} f(A^0 \xi) d\xi - h^{-1} A^{0T} M A^0 \right) \quad (5.7)$$

На следующем шаге находим

$$(M + \mu_0 hE)(X^2 - A^2 \tau) = -h \left( \mu_1 X^1 + \int_0^\tau (\tau - \xi) f'_x(A^0 \xi) X^1(\xi) d\xi \right)$$

где  $A^2$  — произвольный постоянный вектор.

Из краевого условия для  $X^2$  следует

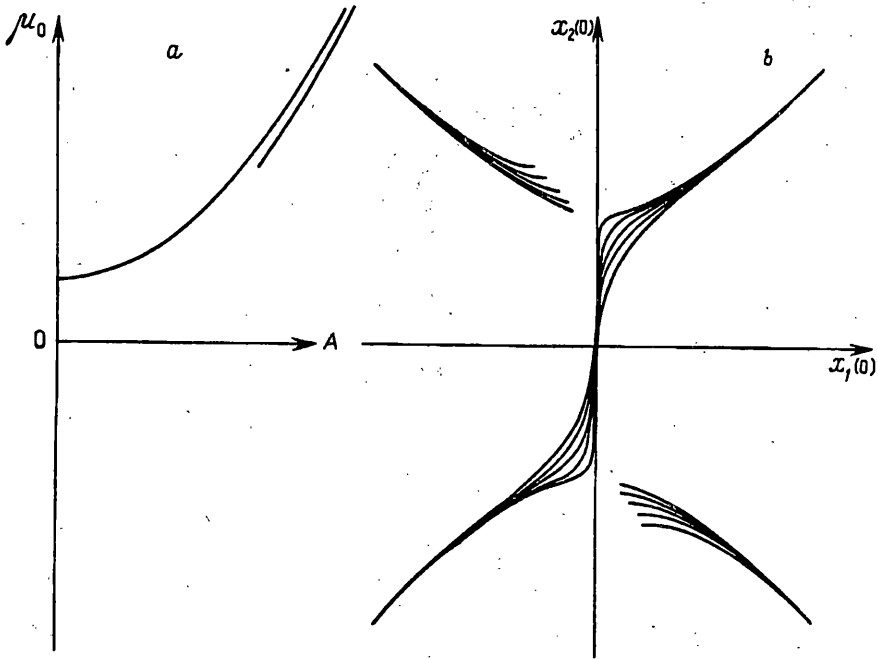
$$(M + \mu_0 hE) A^2 + \mu_1 h A^0 = h \int_0^1 f'_x(A^0 \xi) X^1(\xi) d\xi$$

Принимая для вектора  $A^2$  условие  $A^{0T} (M + \mu_0 hE) A^2 = 0$ , получаем

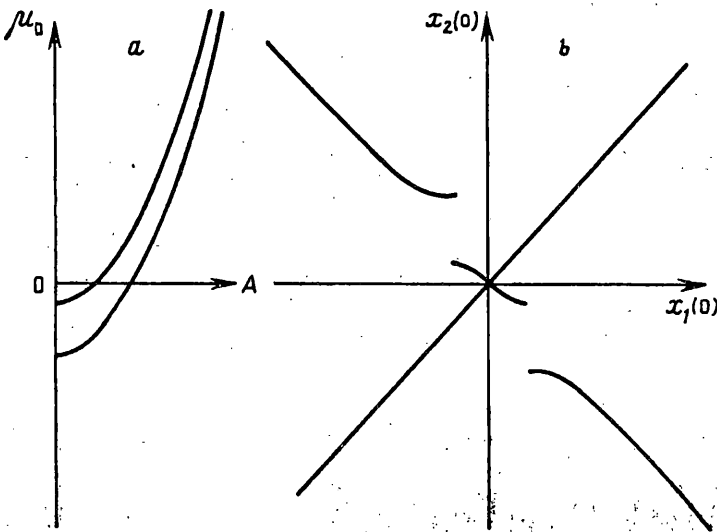
$$\mu_1 = \frac{1}{A^{0T} A^0} \int_0^1 A^{0T} f'_x(A^0 \tau) X^1(\tau) d\tau \quad (5.8)$$

На фиг. 3, 4 приведены результаты численного анализа алгебраической задачи (5.6), (5.7) для двухмассовой системы (пример 1). Вычисления выполнены при следующих значениях параметров:  $\varepsilon = 1$ ;  $\rho = 0,4$ ;  $c = 1 + 8\gamma = 1,5$ ;  $\omega = 0,2$ ;  $0,4; \dots 1,0$  (фиг. 3) и  $\omega = 3,2$  (фиг. 4). На фиг. 3, *a* показана зависимость  $\mu_0 (A = (x_1^2(0) + x_2^2(0))^{1/2})$  только для  $\omega = 1,0$ . Параметр связи  $\gamma$  находится в диапазоне значений, при которых соответствующая система без линейных членов в поле упругих сил (однородная система третьей степени) имеет четыре главных траектории вынужденных колебаний. Это и приводит к характерному ветвлению решений в плоскости амплитуд (см. пример 2). На рисунках показаны только устойчивые относительно вычислительной процедуры ветви. Увеличение частоты внешнего воздействия приводит к эффективному возрастанию асимметрии масс и характерной эволюции бифуркационной картины. Обратим внимание на эффект локализации [8], т. е. возбуждения, в основном, одной из частиц. Соответствующие точки в плоскости амплитуд располагаются около биссектрис координатных углов. В низкочастотном диапазоне внешнего воздействия локализация наблюдается в сильно нелинейной области больших амплитуд (фиг. 3, *b*, «ответившиеся» решения). Однако, в высокочастотном диапазоне аналогичный эффект имеет место и в квазилинейной области (фиг. 4, *b*).

Таким образом, главные траектории вынужденных колебаний нелинейных систем обладают рядом качественных особенностей, присущих главным траекториям собственных колебаний. Так, соответствующие особые направления линейризованных систем в общем случае «расщепляются» на семейства



Фиг. 3



Фиг. 4

искривленных траекторий; для однородных систем траектории обоих типов прямолинейны. Возможны эффекты ветвления и нелинейной локализации колебаний.

В связи с нарушением принципа суперпозиции эффекты локализации для нелинейных систем играют особую роль и позволяют в определенном смысле сохранить трактовку главных траекторий как базовых [8].

Автор благодарен В. Ф. Журавлеву за полезное обсуждение постановки задачи.

## СПИСОК ЛИТЕРАТУРЫ

1. Журавлев В. Ф. Об особых направлениях в пространстве конфигураций линейных колебательных систем//ПММ. 1992. Т. 56. № 1. С. 16—23.
2. Малкин И. Г. Методы Ляпунова и Пуанкаре в теории нелинейных колебаний. Л.— М.: Гостехиздат, 1949. 244 с.
3. Каудерер Г. Нелинейная механика. М.: Изд-во иностр. лит., 1961. 777 с.
4. Коллатц Л. Задачи на собственные значения. М.: Наука, 1968. 503 с.
5. Маневич Л. И., Михлин Ю. В., Пилипчук В. Н. Метод нормальных колебаний для существенно нелинейных систем. М.: Наука, 1989. 216 с.
6. Пилипчук В. Н. К расчету сильно нелинейных систем, близких к виброударным//ПММ. 1985. Т. 49. Вып. 5. С. 744—751.
7. Пилипчук В. Н. Построение периодических решений в сильно нелинейных системах//Докл. АН УССР. Сер. А. 1986. № 1. С. 28—31.
8. Маневич Л. И., Пилипчук В. Н. Локализация колебаний в линейных и нелинейных цепочках//Успехи механики. 1990. Т. 13. Вып. 3/4. С. 107—134.

Днепропетровск

Поступила в редакцию  
17.IV.1993